

04

## О резонансном формировании функции распределения электронов в стратоподобных полях

© Ю.Б. Голубовский, В.О. Некучаев, А.Ю. Скобло

Санкт-Петербургский государственный университет  
Ухтинский государственный технический университет  
E-mail: alexey\_skoblo@yahoo.com

Поступило в Редакцию 18 марта 2008 г.

Рассматривается резонансное поведение функции распределения электронов в пространственно периодических стратоподобных полях в случае разряда в неоне при низких давлениях и малых токах. Численное решение кинетического уравнения Больцмана интерпретируется с позиций аналитической теории [3] путем разложения на два множителя, один из которых зависит только от полной энергии. Обсуждаются детали формирования функции распределения как при целочисленных резонансах, следующих из аналитической теории [3], так и при нецелочисленных резонансах.

PACS: 52.25.Dg, 52.80.Nc

В разряде постоянного тока в инертных газах при низких давлениях (доли и единицы Торр) и малых токах (единицы и десятки мА) наблюдаются ионизационные волны (страты) трех типов:  $S$ -,  $P$ - и  $R$ -страты [1,2]. Они различаются падением потенциала на длине страты  $U_L = e_0 E_0 L$  ( $E_0$  — среднее продольное электрическое поле,  $e_0$  — элементарный заряд,  $L$  — длина страты). Для  $S$ -страт  $U_L$  несколько превышает порог возбуждения атомов  $\varepsilon_1$ , для  $P$ -страт  $U_L$  примерно в 2 раза меньше. Для  $R$ -страт падение потенциала  $U_L$  имеет промежуточное значение около  $2/3$  от  $U_L$  для  $S$ -страт. Длины волн для этих типов страт при близких  $E_0$  находятся в таком же соотношении.

В работе [3] был предложен механизм резонансного формирования функции распределения электронов по энергиям (ФРЭ) в пространственно периодических полях в рассматриваемых условиях, когда в балансе энергии электронов доминируют неупругие столкновения с атомами. Основная идея была связана с тем, что при определенном

(резонансном) значении длины  $L$  периода поля вследствие эффекта бунчировки ФРЭ стягивается в узкий максимум, перемещающийся вдоль резонансной траектории в плоскости энергия–координата. Описание эффекта основано в работе [3] на аналитическом решении кинетического уравнения в виде:

$$\begin{aligned} & \frac{\partial}{\partial z} \left( D(w) \frac{\partial f_0(\varepsilon, z)}{\partial z} \right) + \frac{\partial}{\partial \varepsilon} (V(w) f_0(\varepsilon, z)) \\ & = \sum_k w N Q_k(w) f_0(\varepsilon, z) - \sum_k (w + \varepsilon_k) N Q_k(w + \varepsilon_k) f_0(\varepsilon + \varepsilon_k, z), \quad (1) \end{aligned}$$

где  $D(w) = w/(3NQ(w))$ ,  $V(w) = (2m_e/M)w^2NQ(w)$ . Здесь в качестве независимых переменных приняты продольная координата  $z$  и полная энергия электрона  $\varepsilon = w + e\varphi(z)$  ( $w$  — кинетическая энергия,  $e\varphi(z)$  — потенциальная энергия),  $m_e$  — масса электрона,  $M$  — масса атома,  $N$  — концентрация атомов,  $Q(w)$  — транспортное сечение упругих столкновений электронов с атомами,  $Q_k(w)$  — сечение возбуждения  $k$ -го состояния с энергией  $\varepsilon_k$ ,  $f_0$  — симметричная часть ФРЭ (ФРЭ слабо анизотропна). Уравнение (1) решалось в [3] в приближении черной стенки на пороге возбуждения ( $f_0|_{\varepsilon=e\varphi(z)+\varepsilon_1} = 0$ ) путем разложения по малому параметру

$$\chi = \frac{V(\varepsilon_1)}{D(\varepsilon_1)} \frac{\varepsilon_1}{e_0^2 E_0^2} = 3 \left( \frac{\varepsilon_1}{e_0 E_0 \lambda_T(\varepsilon_1)} \right)^2 \ll 1, \quad (2)$$

где  $\lambda_T$  — длина энергетической релаксации электронов по отношению к упругим ударам. Главный член разложения решения уравнения (1) представляется в виде:

$$f_0(\varepsilon, z) = \Phi(\varepsilon) G(\varepsilon, z), \quad (3)$$

где

$$G(\varepsilon, z) \equiv \int_z^{z_1(\varepsilon)} \frac{dz'}{D(\varepsilon - e\varphi(z'))}. \quad (4)$$

Здесь  $z_0(\varepsilon) < z < z_1(\varepsilon)$ , где  $z = z_0(\varepsilon)$  — функция, обратная к  $\varepsilon = e\varphi(z)$ ,  $z = z_1(\varepsilon)$  — функция, обратная к  $\varepsilon = e\varphi(z) + \varepsilon_1$ . Функция  $\Phi(\varepsilon)$  (амплитуда ФРЭ) удовлетворяет уравнению:

$$\Phi(\varepsilon - \varepsilon_1) = \Phi(\varepsilon) + \chi \frac{\partial}{\partial \varepsilon} (\Psi(\varepsilon) \Phi(\varepsilon)) + \chi^2 C(\varepsilon) \frac{\partial^2 \Phi(\varepsilon)}{\partial \varepsilon^2}, \quad (5)$$

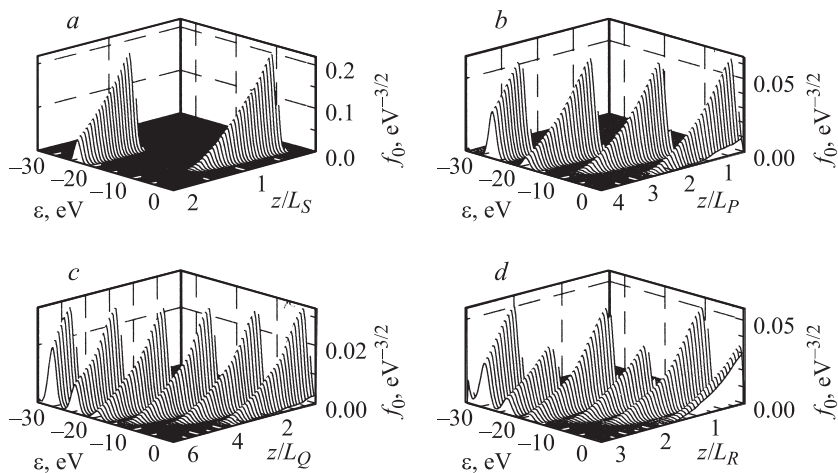
функции  $\Psi(\varepsilon)$  и  $C(\varepsilon)$  выражаются в явном виде через  $G(\varepsilon, z)$ ,  $D(\varepsilon)$ ,  $V(\varepsilon)$ ,  $z_0(\varepsilon)$  и  $z_1(\varepsilon)$ .

Если  $\kappa = 0$  (потери энергии в упругих ударах пренебрежимо малы), то  $\Phi(\varepsilon) = \Phi(\varepsilon - \varepsilon_1)$ ,  $f_0(\varepsilon, z) = f_0(\varepsilon - \varepsilon_1, z - \varepsilon_1/(e_0 E_0))$ , ФРЭ при сколь угодно больших  $z$  воспроизводит исходную ФРЭ  $f_0(\varepsilon, z)|_{z=0}$ , инжектированную в поле. Учет малых поправок на упругие удары ( $\kappa \ll 1$ ) приводит к тому, что по прохождении определенного числа пространственных периодов устанавливается ФРЭ, не зависящая от исходной ФРЭ, инжектированной в поле. Из аналитической теории [3] следуют резонансы ФРЭ при  $L = L_S/n$ , где  $n = 1, 2, 3$  и т.д.,  $L_S = (\varepsilon_1 + \Delta\varepsilon)/(e_0 E_0)$ ,  $\Delta\varepsilon$  — потери энергии в упругих ударах на дистанции от  $z_0$  до  $z_1$  вдоль резонансной траектории ( $\Delta\varepsilon \ll \varepsilon_1$ ,  $\Delta\varepsilon \sim \kappa\Psi$ ). При  $L = L_S/n$  функция  $\Phi(\varepsilon)$  имеет вид узких максимумов (эффект бунчировки), причем на интервале  $\varepsilon_1 + \Delta\varepsilon$  укладывается  $n$  максимумов. Будем называть эти резонансы целочисленными. Резонансы при  $n = 1$  и  $n = 2$  соответствуют  $S$ - и  $P$ -стратам, наблюдаемым в эксперименте. Рассчитанные ФРЭ согласуются с измеренными [4,5].

В работе [6] на основе численного решения уравнения (1) на примере разряда в неоне показано наличие не только целочисленных резонансов, но также резонансов при  $L = (m/n)L_S$ , где  $m$  и  $n$  — целые числа. В частности, резонанс при  $L = (2/3)L_S$  был отнесен к  $R$ -стратам, наблюдаемым в эксперименте.

Представляет интерес интерпретировать результаты таких численных расчетов с позиций аналитической теории [3] и выяснить детали формирования сомножителей  $\Phi(\varepsilon)$  и  $G(\varepsilon, z)$ . С этой целью в настоящей работе уравнение (1) решалось численно для неона с сечениями неупругих ударов, формально увеличенными в 10 раз, что моделирует приближение черной стенки. Уравнение решалось в поле вида  $E(z) = E_0(1 + \alpha \sin(2\pi z/L))$  с глубиной модуляции  $\alpha = 0.9$  и средним полем  $E_0 = 3$  В/см при давлении 0.5 Торг. Как и в работе [6], для численного решения уравнения был применен алгоритм из [7].

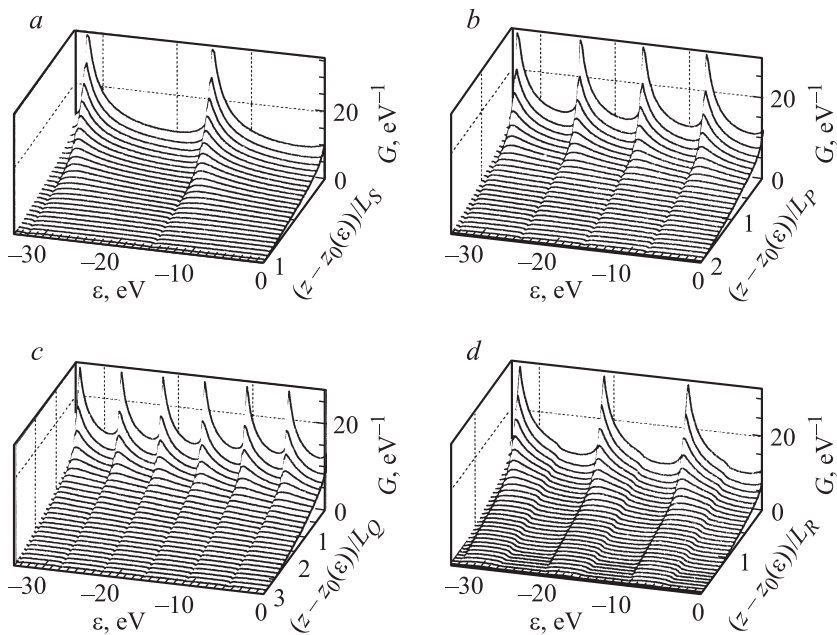
На рис. 1, *a-d* изображены ФРЭ  $f_0(\varepsilon, z)$ , рассчитанные при  $L = L_S$  ( $S$ -резонанс),  $L = L_S/2$  ( $P$ -резонанс),  $L = L_S/3$  ( $Q$ -резонанс, так он был назван в [6]) и  $L = (2/3)L_S$  ( $R$ -резонанс). Здесь ФРЭ нормированы так, как если бы среднее по пространственному периоду  $L$  значение концентрации электронов было бы равно единице, т.е.  $\langle \int_0^\infty w^{1/2} f_0(w + e\varphi(z), z) dw \rangle = 1$ . Для интерпретации результатов рассчитанные резонансные ФРЭ аппроксимировались выражением (3). Множитель  $G(\varepsilon, z)$  рассчитывался в явном виде через сечения упругих ударов по формуле (4). Полученные таким образом функции  $G$



**Рис. 1.** Рассчитанные резонансные ФРЭ  $f_0(\epsilon, z)$  для  $S$ - (a),  $P$ - (b),  $Q$ - (c) и (d)  $R$ -резонансов.

приведены в переменных  $(\epsilon, z - z_0(\epsilon))$  на рис. 2,  $a-d$  для  $S$ -,  $P$ -,  $Q$ - и  $R$ -резонансов. Множитель  $\Phi$  рассчитывался путем деления  $f_0(\epsilon, z)$  на  $G(\epsilon, z)$ . При этом оказалось, что  $\Phi$  слабо зависит от координаты  $z$ , за исключением малых областей вблизи  $z_0(\epsilon)$  и  $z_1(\epsilon)$ . Таким образом, удавалось представить  $\Phi$  как функцию только от полной энергии  $\epsilon$ . Это связано с малостью параметра  $\chi \sim 0.12$  для данных условий. Полученные таким способом амплитуды ФРЭ  $\Phi(\epsilon)$  для  $S$ -,  $P$ -,  $Q$ - и  $R$ -резонансов изображены на рис. 3,  $a-d$ . На всех трех рисунках энергетический интервал составляет  $2(\epsilon_1 + \Delta\epsilon) \approx 33.8$  eV, что соответствует потерям энергии в упругих ударах  $\Delta\epsilon \approx 0.3$  eV и в неупругих ударах  $\epsilon_1 \approx 16.6$  eV на длине  $L_S$ .

Из рис. 3,  $a-c$  ( $S$ -,  $P$ - и  $Q$ -резонансы;  $L = L_S, L_S/2, L_S/3$ ) видно, что формируются ярко выраженные максимумы  $\Phi(\epsilon)$ , причем на интервале  $2(\epsilon_1 + \Delta\epsilon)$  укладываются соответственно два, четыре или шесть максимумов одинаковой величины, что полностью соответствует результатам аналитической теории [3]. На ФРЭ  $f_0(\epsilon, z)$  (рис. 1,  $a-c$  ( $S$ -,  $P$ - и  $Q$ -резонансы)) также видны два, четыре или шесть одинаковых максимумов. Это обусловлено тем, что каждый из максимумов функции  $\Phi(\epsilon)$  накладывается на одну и ту же фазу функции  $G(\epsilon, z)$  (рис. 2,  $a-c$ ).



**Рис. 2.** Функции  $G(\varepsilon, z - z_0(\varepsilon))$  для  $S$ - (a),  $P$ - (b),  $Q$ - (c) и (d)  $R$ -резонансов.

Как и для  $Q$ -резонанса, для нецелочисленного  $R$ -резонанса ( $L = (2/3)L_S$ , рис. 3, d) амплитуда  $\Phi(\varepsilon)$  имеет шесть одинаковых максимумов. В то же время ФРЭ  $f_0(\varepsilon, z)$  имеет максимумы, чередующиеся по величине (рис. 1, d). Этот эффект связан с особенностями функции  $G(\varepsilon, z)$  для нецелочисленного резонанса. Как видно из рис. 2, d и 3, d, максимумы функции  $\Phi$  накладываются на разные фазы функции  $G$ . Период функции  $\Phi$  составляет  $(\varepsilon_1 + \Delta\varepsilon)/3$ , а период функции  $G$  составляет  $2(\varepsilon_1 + \Delta\varepsilon)/3$ . Это приводит к чередованию максимумов на ФРЭ (рис. 1, d). На интервале  $2(\varepsilon_1 + \Delta\varepsilon)$  имеются три участка более высоких значений функции  $G$  и три участка более низких значений функции  $G$  (рис. 2, d), что связано с большим или меньшим расстоянием по координате между кривыми  $z_0(\varepsilon)$  и  $z_1(\varepsilon)$  [согласно (4),  $G(\varepsilon, z)$  представляет собой интеграл от  $z$  до  $z_1(\varepsilon)$ ]. Для целочисленных резонансов это расстояние практически не зависит от фазы страты.

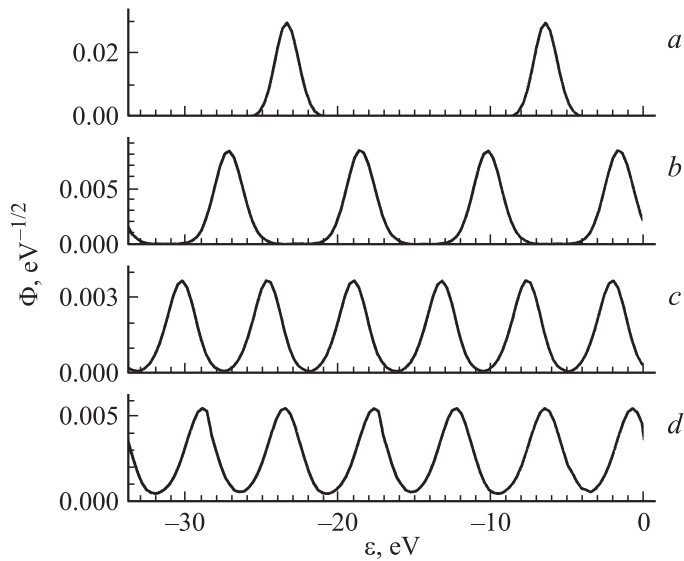


Рис. 3. Амплитуды ФРЭ  $\Phi(\varepsilon)$  для  $S$ - (a),  $P$ - (b),  $Q$ - (c) и (d)  $R$ -резонансов.

Очевидно, что аналогичная картина будет иметь место для любого другого нецелочисленного резонанса при  $L = (m/n)L_S$ . Период функции  $\Phi(\varepsilon)$  будет составлять величину  $(\varepsilon_1 + \Delta\varepsilon)/n$ . При этом максимумы функции  $\Phi(\varepsilon)$  будут накладываться на разные фазы функции  $G(\varepsilon, z)$ , так как период функции  $G(\varepsilon, z)$  будет в  $m$  раз больше, чем период функции  $\Phi(\varepsilon)$ . Однако ширина максимумов функции  $\Phi(\varepsilon)$  определяется параметром  $\kappa$  [3]. Поэтому проявляются только резонансы с небольшим  $n$ . При больших  $n$  максимумы сливаются друг с другом. Снижение давления газа приводит к уменьшению параметра  $\kappa$  и сужению максимумов функции  $\Phi(\varepsilon)$ , тогда проявляется большее количество резонансов. С этим (как уже обсуждалось в работе [6]) можно связать то, что в эксперименте  $R$ -страты наблюдаются в основном при более низких давлениях, чем  $S$ - и  $P$ -страты.

В настоящей работе уточняется физический смысл множителей, на которые можно разложить резонансную ФРЭ (3) в пространственно периодическом поле. Как для целочисленных, так и для нецелочисленных резонансов функция  $\Phi(\varepsilon)$  имеет совпадающие друг с другом

по величине максимумы, форма которых определяется эффектом бунчировки. Произведение  $\Phi(\varepsilon)$  на  $G(\varepsilon, z)$  дает максимумы одинаковой величины для ФРЭ  $f_0(\varepsilon, z)$  в случае целочисленных резонансов. Для целочисленных резонансов структура функции  $G(\varepsilon, z)$  обеспечивает чередование максимумов функции  $f_0(\varepsilon, z)$ .

Работа выполнена по тематическому плану НИР, проводимых по заданию Федерального агентства по образованию. Номер НИР 1.3.08.

## Список литературы

- [1] Пекарек Л. // УФН. 1968. Т. 94. В. 3. С. 463–500.
- [2] Зайцев А.А., Савченко И.А. // ЖТФ. 1975. Т. 45. В. 7. С. 1541–1544.
- [3] Цендин Л.Д. // Физика плазмы. 1982. Т. 8. В. 2. С. 400–409.
- [4] Голубовский Ю.Б., Некучаев В.О., Пономарев Н.С., Порохова И.А. // ЖТФ. 1997. Т. 67. В. 9. С. 14–21.
- [5] Golubovskii Yu.B., Kozakov R.V., Behnke J., Wilke C., Nekutchaev V.O. // Phys. Rev. E. 2003. V. 68. P. 026 404.
- [6] Golubovskii Yu.B., Skoblo A.Yu., Wilke C., Kozakov R.V., Behnke J., Nekutchaev V.O. // Phys. Rev. E. 2005. V. 72. P. 026 414.
- [7] Sigeneger F., Winkler R. // Contrib. Plasma Phys. 1996. V. 36. N 5. P. 551–571.